

This work is on a Creative Commons Attribution-NonCommercial 4.0 International (CC BY-NC 4.0) license, <https://creativecommons.org/licenses/by-nc/4.0/>. Access to this work was provided by the University of Maryland, Baltimore County (UMBC) ScholarWorks@UMBC digital repository on the Maryland Shared Open Access (MD-SOAR) platform.

## Please provide feedback

Please support the ScholarWorks@UMBC repository by emailing [scholarworks-group@umbc.edu](mailto:scholarworks-group@umbc.edu) and telling us what having access to this work means to you and why it's important to you. Thank you.

## بهینه‌سازی بیان مسیر بیوسنتز فلاونوئید نارینجنین با استفاده از کشت سلولی یارویا لیپولیتیکا

منیره مارصفری<sup>1</sup>، حبیب‌الله سمیع‌زاده لاهیجی<sup>1</sup>، بابک ربیعی<sup>1</sup>، علی‌اشرف مهرابی<sup>2</sup>، یونگکون لوی<sup>3</sup> و پنگ شو<sup>4</sup>

<sup>1</sup>دانشکده علوم کشاورزی، دانشگاه گیلان، رشت، ایران؛ <sup>2</sup>دانشکده کشاورزی، دانشگاه ایلام، ایلام، ایران؛ <sup>3</sup>دانشکده بیوتکنولوژی، دانشگاه جیانگنان، جیانگسو، چین؛ <sup>4</sup>دانشکده مهندسی شیمی، بیوشیمی و محیط‌زیست، دانشگاه مریلند، بالتیمور، آمریکا

مسئول مکاتبات: منیره مارصفری، mamonir@umbc.edu

چکیده. امروزه استفاده از مخمر *Yarrowia lipolytica* به دلیل برخورداری از ظرفیت تولید بالا، گلیکوزیله شدن در مقادیر کم، برخورداری از نشانگرهای مولکولی و ابزارهای ژنتیکی انحصاری به طور گسترده و برای سرعت بخشیدن به روند تولید ترکیبات گیاهی-دارویی و به عنوان یک میزبان سلولی بسیار مورد توجه قرار گرفته است. نارینجنین نه تنها به عنوان هسته مرکزی تولید فلاونوئیدهای مختلف از اهمیت زیادی برخوردار است، بلکه در گیاهان و نیز درمان بیماری-های مختلف انسان نقش ویژه‌ای بر عهده دارد. به همین منظور و برای تولید بهینه این ترکیب فلاونوئیدی ارزشمند، ژن‌های مهم و اصلی مسیر بیوسنتز نارینجنین از منابع مختلف گیاهی شناسایی شدند و پس از مقایسه الگوی بیان و به منظور تولید نارینجنین در میزبان موردنظر معرفی شدند. نتایج این تحقیق نشان داد که *chs* ژن کلیدی و مهم در تولید نارینجنین بهشمار می‌رود و به همین منظور افزایش تعداد نسخه‌های این ژن در هر سازه ژنی موردنظر بررسی قرار گرفت. نتایج حاصل از تجزیه داده‌های HPLC نشان داد که بهینه‌سازی شرایط رشد و رفع موانع محدود کننده و نیز افزایش تعداد ۵ نسخه ژن *chs* در هر سازه می‌تواند ۷/۱۴ برابر میزان نارینجنین را افزایش دهد و تولید آن را به ۹۰/۱۶ میلی‌گرم در لیتر برساند. این بررسی نشان داد که دانش کافی از ژن‌های درگیر در مسیر بیوسنتزی فراورده موردنظر، طراحی مصنوعی این مسیر و نیز بهره‌گیری از مخمر *Y. lipolytica* به عنوان یک میزبان کارآمد و ارزان می‌تواند در تولید انبوه ترکیبات گیاهی-دارویی نقش بهسازایی داشته باشد.

واژه‌های کلیدی. تعداد نسخه ژن، جریان متابولیسم، کروماتوگرافی مایع با کارایی بالا، میزبان مخمر، مهندسی متابولیت

## The optimization of Naringenin biosynthesis pathway using *Yarrowia lipolytica* cell culture

**Monireh Marsafari<sup>1</sup>, Habibollah Samizadeh Lahiji<sup>1</sup>, Babak Rabiei<sup>1</sup>, AliAshraf Mehrabi<sup>2</sup>,  
Yongkun Lv<sup>3</sup> & Peng Xu<sup>4</sup>**

<sup>1</sup>Faculty of Agricultural Science, University of Guilan, Rasht, Iran; <sup>2</sup> Faculty of Agriculture, University of Ilam, Ilam,

Iran; <sup>3</sup>Faculty of Biotechnology, Jiangnan University, Jiangsu, China; <sup>4</sup>Department of Chemical, Biochemical and

Environmental Engineering, University of Maryland Baltimore County, Baltimore, USA

Correspondent author: Monireh Marsafari, mamonir@umbc.edu

**Abstract.** *Yarrowia lipolytica*, as a good cell factory to speed up the production of plant pharmaceutical components, has been considered to be one of the most important and attractive micro-organisms in recent years, due to its high secretion capacity, limited glycosylation, large range of genetic markers and molecular tools. Naringenin, as a central core of flavonoids production, plays important roles both in plants and in the treatment of different types of human diseases. For this purpose, specific naringenin biosynthesis genes from different origins were selected and introduced after comparative expression profiling in *Y. lipolytica*. This research indicated that *chs* plays the main role in the production of naringenin, so the increase copy number of this gene in each construct was investigated. The HPLC results confirmed that the construct with 5 copy numbers of *chs* resulted in 7.14 fold increase of naringenin extracellular titer to 90.16 mg/L in shake flask cultures. The results reported in this study demonstrated that sufficient knowledge of genes involved in the specific biosynthesis pathway, synthetic gene pathway and using *Y. lipolytica* as a capable and cheap host could help bioengineers to produce significant amounts of pharmaceutical components.

**Keywords.** gene copy number, HPLC, metabolic engineering, metabolic flux, yeast host

## مقدمه

فلاونوئیدها یکی از مهمترین زیرگروه‌های ترکیبات پلی‌فنلی با وزن مولکولی پایین هستند ( Mahomoodally et al., 2005; Pandy, 2007 ) که علاوه بر سازوکارهای گوناگون در گیاهان مانند محافظت در برابر اشعه UV، تنظیم فیزیولوژی و پیامرسانی سلولی و تنظیم گرددها فشانی ( Falcone Ferreyra et al., 2012 )، برای درمان طیف وسیعی از بیماری‌ها مانند انواع سرطان‌ها، چاقی، دیابت، بیماری‌های قلبی عروقی و بیماری‌های عصبی مورد هدف قرار گرفته‌اند ( Panche et al., 2016 ). نارینجنین متعلق به زیرشاخه فلاونون و به عنوان یکی از مهمترین ترکیبات فلاونوئیدی طبیعی و هسته مرکزی مسیر بیوسنتری فلاونوئیدها مطرح شده است ( Winkel-Shirley, 2001 )

اسید پی-کوماریک توسط اسید سینامیک و از طریق عمل هیدروکسیله شدن آنزیم سینامیت-۴-هیدروکسیلаз (*4h*) و یا به طور مستقیم از طریق آمین‌زادای تیروزین توسط آنزیم تیروزین آمونیالیاز (*tal*) ایجاد می‌شود و سپس به ۴-کوماریول-کوا با عملکرد آنزیمی ۴-کوماریت-کوا لیگاز(*4cl*) تبدیل می‌شود. متعاقباً چالکان سینتاز (*chs*) سه مرحله پی‌درپی متراکم-سازی واحدهای استات از مالونیل-کوا (استر کوا-آ) را برای دستیابی به چالکان نارینجنین انجام می‌دهد ( Stafford et al., 2004; Winkel, 2004 ). استیل-کوا آنزیم آ پیش‌ساز مالونیل-کوا آنزیم آ و به عنوان اولین نقطه کنترل جریان بیوسنتر نارینجنین و سایر فلاونوئید محسوب می‌شود در حالی که مالونیل-کوا آنزیم آ به عنوان نقطه آغاز سنتز فلاونوئیدها به شمار می‌رود ( Zha et al., 2009 ). آنزیم استیل-کوا آنزیم آ کربوکسیلاز (*accI*) استیل-کوا آنزیم آ را به مالونیل کوا آنزیم آ تبدیل می‌کند و نقش حیاتی در تامین میزان سوستراتی مورد نیاز برای تولید بهینه فلاونوئیدها ایفا می‌کند ( Fowler et al., 2009 ). سپس چالکان ایزومراز (*chi*) چالکان نارینجنین را به نارینجنین که پیش‌نیاز رایج برای فلاونوئیدهای پایین‌دست به شمار می‌رود، تبدیل می‌کند ( Winkel-Shirley, 2001 ). نارینجنین می‌تواند به طور مستقیم و یا غیرمستقیم با آنزیم‌های دیگر واکنش دهد و سایر ترکیبات فلاونوئیدی و آنتوکسیانین‌ها را تولید کند ( Winkel-Shirley, 2002 ) (شکل ۱).

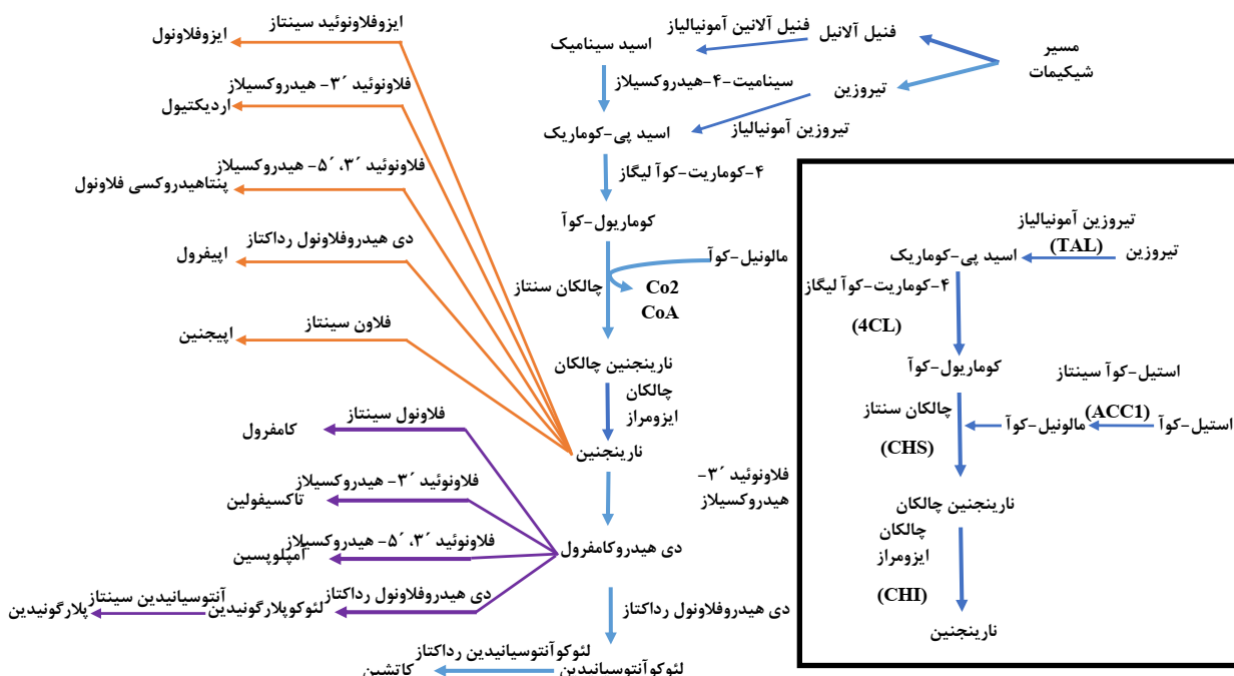
تولید نارینجنین و به طورکلی فلاونوئیدها با استفاده از مواد گیاهی از نظر اقتصادی به صرفه نیست زیرا علاوه بر اینکه استخراج آن‌ها از بافت‌های گیاهی مستلزم استفاده از ترکیبات شیمیایی مضر است، تنها از بافت‌ها و گیاهان منحصر به فرد با قابلیت کشت در اقلیم خاص و گاهاً با دوره کشت طولانی قابل

استخراج هستند. تولید شیمیایی فلاونوئیدها نیز به دلیل استفاده از حلال‌های شیمیایی سمی و وجود چالش تغییرات شیمیایی ضروری مانند گلیکولیزه‌شدن برای تولید ترکیبات فعال توصیه نمی‌شود. بنابراین مهندسی زیستی مسیر بیوسنتری فلاونوئیدها به عنوان راهکاری ویژه در جامعه علمی و صنعتی بسیار مورد توجه Atanasov et al., 2015; Chemler & Koffas, 2008; Fowler & Koffas, 2009; Wang et al., 2011

کشت سوسپانسون سلول گیاهی نیز به دلیل نیاز به کشت در مقیاس وسیع، تولید مقدار انبوه ترکیبات جانبی، تمایل سلول‌ها به تشکیل توده و عدم دستیابی سلول‌های میانی توده به نور و سرکوب تولید فلاونوئیدها، از نظر اقتصادی توجیه‌پذیر نیست ( Fowler & Koffas, 2009 ). پیشرفت‌های اخیر در جهت بهبود تولید فلاونوئیدها با استفاده از کارخانه‌های سلولی میکروبی، سیستم‌های مبتنی بر بیوکتور و بیولوژی مصنوعی بیان مسیر بیوسنتری متابولیت‌ها را امکان‌پذیر نموده و بیوسنتر فراورده موردنظر را در زمان کوتاه و حجم انبوه امکان‌پذیر می‌کند. استفاده از کارخانه‌های سلولی میکروبی به دلیل عدم استفاده از ترکیبات شیمیایی مصر، سرعت رشد بالا، سهولت رشد و تکثیر و دسترسی به ابزارهای ژنتیکی متعدد؛ نسبت به استخراج از بافت‌های گیاهی و یا کشت سوسپانسیون سلولی از اهمیت بالاتری برخوردار است ( Trantat et al., 2015 ).

تحمل در برابر pH پایین، ماهیت شدید هوایی، قابلیت تطبیق‌پذیری تجزیه سوبسترا با شرایط موجود، حضور مقدار زیاد استیل-کوا و مالونیل-کوا به همراه مواد چرب هیدروفویک، قابلیت مصرف بخش زیادی از مواد کربنی خام به عنوان اسیدهای چرب و چربی، فراهم کردن محیط آمفی‌فیلیک مناسب برای عملکرد کاتالیکی بسیاری از آنزیم‌های گیاهی، برخورداری از غشاء‌های ساختاری و محفظه‌های سلولی جهت فراهم کردن محیط هیدروفویک مناسب و نیز انتخاب استرتوئیدهای موردنیاز برای هیدروکسیل کردن، گلیکوزیله کردن و پرنیله کردن موردنیاز فلاونوئیدها و تولید مقدار بیشتر بیوماس نسبت به میزان ترجیحی *S. cerevisiae* و *Yarrowia lipolytica* را به عنوان یک میزان قدرتمند برای تولید ترکیبات طبیعی متنوع با سختار پیچیده تبدیل کرده است ( Lv et al., 2019b ).

تعادل جریان متابولیسمی و کاهش بار متابولیکی به واسطه بهبود جریان متابولیکی میان مسیر بالادرست و پایین‌دست ژنی ( Xu et al., 2013b ), رعایت حداقل ترکیبات حدواتسط برای حفظ زنده‌مانی سلول ( Leonard et al., 2010 ) و عدم ایجاد تنش در سلول‌ها از طریق بارگزاری بیش‌ازحد از عوامل حیاتی برای بهینه‌سازی تولید متابولیت در ریزسازواره‌ها هستند ( Zelcbuch et al., 2013 ).



شکل ۱- مسیر عمومی بیوسنتر فلانوئیدها. این مسیر با متابولیسم فنیلبروپانوئید در پلاستید آغاز می‌شود و با بکارگیری یکسری از آنزیم‌های متفاوت از شبکه اندوپلاسمی و سیتوسول بیوسنتر فراورده‌های نهایی مانند نارینجنین، تاکسیفولین، کامفرول، اردیکتیول و اپیجنین را انجام می‌دهد. قادر مشکی ژن‌ها و مسیر بیوسنتر استفاده شده در این تحقیق را نشان می‌دهد.

**Fig. 1.** The general biosynthesis pathway of flavonoids. This pathway begins with the metabolism of phenylpropanoid in the plastid and performs biosynthesis of end products such as naringenin, taxifoline, kaempferol, edictic acid and epigenin using a series of different enzymes from the endoplasmic reticulum and cytosol. Genes and the biosynthetic pathway used in this study were shown in the black frame.

به صورت ساختار مونوسيسترونیک و با استفاده از روش Yali Wong در میزبان *Y. lipolytica* همسانه‌سازی شدند (Bricks et al., 2017). ژن‌های کدکننده ۴-کوماریت-کوا لیگاز از گیاه جعفری (*Petroselinum crispum; Pc4cl*) و گوجه‌فرنگی (*Solanum lycopersicum; Sl4cl*); چالکان سنتاز از گیاه *Hordeum* (*Petunia x hybrid; Phchs*) و جو (*Petunia x hybrid; Hvchs2* (*Hulgare*)); چالکان ایزومراز از دو گیاه یونجه (*Medicago sativa; Mschi*) و پتونیا (*Phchi*) انتخاب شدند و برای شناسایی بهترین سازه حاوی قدرتمندترین ژن‌های پایه در ترکیب‌های مختلف استفاده شدند. بررسی نتایج مثبت حاصل از افزودن ۵ میلی‌مولار تیروزین خارج سلولی به هر فلاسک حاوی مخمر تراویخت شده با سازه موردنظر بر میزان تولید نارینجنین موجب شد تا فرض شود ژن *tal* نیز با فراهم‌کردن مقدار مناسب تیروزین در دسترس برای سویه مخمر مورد بررسی نقش قابل توجیهی در تولید نارینجنین خواهد داشت. برای این‌منظور و بر اساس نتایج حاصل از پژوهش‌های قبلی تاثیر ژن *tal* با منبع ژنی *Rhodotorula*

در این پژوهش به منظور شناسایی کارامدترین ژن‌های درگیر در بهینه‌سازی بیوسنتر هترولوگ فلانوئید نارینجنین و ایجاد یک جریان معادل متابولیسمی ژن‌های *tal*, *acc1*, *chi*, *chs*, *4cl* و *tal* از منابع ژنی مختلف گرفته شد و قدرت بیان آن‌ها در میزبان *Y. lipolytica* مورد بررسی قرار گرفت. همچنین نشان داده شد که میزبان مورد استفاده به عنوان یک کارخانه میکروبی کارامد، با فراورده‌های اتانولی جانبی، روش‌های ساده مهندسی ژنتیک و عدم استفاده از ابزارهای پیچیده‌تر مانند استفاده از بایوسنسورها و یا کشت میکروبی مخلوط می‌تواند مقدار قابل توجهی فلانوئید نارینجنین تولید نماید.

## مواد و روش‌ها

ژن، پلاسمید و سوبه‌های مورد استفاده به دلیل تفاوت میزان بیان ژن‌های مختلف در میزبان‌های متفاوت و به منظور شناسایی قدرتمندترین منابع ژنی، ژن‌های *acc1* و *chi*, *chs*, *4cl*, *tal* و *tal* اصلی تولید نارینجنین یعنی

باکتری *E. coli* NEB 5 $\alpha$  با ۴ میکرولیتر از محلوت واکنش گیبسون و با استفاده از روش شوک حرارتی انجام شد و بر روی پلیت لوریاپترانی حاوی ۱۰۰ میلی گرم بر لیتر آمپیسیلین به عنوان مارکر انتخابی کشت شدند. از هر واکنش تاریختی دست-کم ۳ کلنی در محیط مایع لوریاپترانی حاوی ۱۰۰ میلی گرم بر لیتر آمپیسیلین رشد داده شد و پس از ۲۴ ساعت پلاسمید موردنظر خالص‌سازی شده و برای توالی‌بایی به شرکت Genwiz (نیوجرسی، آمریکا) منتقل شدند. پس از تایید توالی ژن‌های موردنظر، با استفاده از روش ساپ‌کلونینگ و YaliBrick که در ادامه به آن پرداخته شد، ژن *tal* و ژن‌های *chs*, *chi* و *4cl* از منابع ژنی مختلف و هر یک با حفظ پرموتر، اینترون و ترمیناتور مستقل (ساختار مونوسیسترونیک) در پلاسمید گیرنده وارد شدند.

در پلاسمیدهای pYaliBrick که 'pYLXP' نیز عضوی از آن‌ها بهشمار می‌رود، چهار جایگاه آنژیم‌های برشی ایزوکدومر با انتهای سازگار *SpeI* و *XbaI* *NheI* *AvrII* به طور استراتژیک بین عناصر تنظیمی ژن به نحوی قرار گرفته‌اند که به طور بین‌نهایت می‌توانند مورد استفاده قرار گیرند و عملکرد ژنتیکی آسان را هنگام سرهم‌کردن قطعات DNA به صورت ساختارهای مونوسیسترونیک، خوش‌ژنی و یا خوش‌های ژنی کاذب فراهم کنند باشد (Wong et al., 2017). در این پژوهش عموماً پلاسمیدهای دهنده ژن موردنظر با آنژیم‌های برشی *AvrII/SalI* برش داده شدند در حالی که پلاسمید دریافت‌کننده قطعات موردنظر با آنژیم‌های *NheI/SalI* هضم شدند. سپس قطعات مورد نظر با استفاده از روش T4 لیگاز و با آرایش ژنی مونوسیسترونیک در پلاسمید دریافت‌کننده جمع‌آوری شدند. به عنوان مثال برای تهیه قرتمندترین سازه ژنی و جمع‌آوری سه ژن *Pc4cl2*, *Mschi* و *Phchs* در یک پلاسمید و به عنوان الگوی ساپ‌کلونینگ برای سایر سازه‌ها، ابتدا قطعه ژن *Mschi* که از برش پلاسمید 'pYLXP'-*Mschi* با آنژیم‌های برشی ایزوکدومر *AvrII/SalI* به دست آمده بود در جایگاه آنژیم‌های برشی *NheI/SalI* پلاسمید دریافت‌کننده *pYLXP'-Phchs* وارد شد. پس از تایید نتایج ساپ‌کلونینگ و یافتن پلاسمید مثبت 'pYLXP'-*Phchs-Mschi* این پلاسمید نیز در محل آنژیم‌های برشی *Phchs-Mschi* به عنوان دریافت‌کننده برای قطعه ژنی *Pc4cl2* حاصل از *pYLXP'-Phchs-Mschi-Pc4cl* هضم پلاسمید تولید پلاسمید با نام اختصاری pPc4PhSMsI برش داده شد. برای بررسی نقش تیروزین بر میزان تولید نارینجنین نیز ژن *Rttal* به دست آمده از هضم پلاسمید 'pYLXP'-*Rttal* با آنژیم‌های برشی *AvrII/SalI* به دست آمده از روش ذکر شده در مکان برشی آنژیم‌های *NheI/SalI* پلاسمید pPc4PhSMsI و برای تولید پلاسمید pYT4SI وارد شد. پلاسمیدهای مورد استفاده در این تحقیق در جدول ۲ ذکر شده‌اند.

Jiang et al., 2005; Lv et al. (Rttal *toruloides* al., 2019b; Santos et al., 2011; Zhang & Stephanopoulos, 2013; Zhang et al., 2017 تولید نارینجنین خارج سلولی مورد بررسی قرار گرفت. به منظور تأمین میزان کافی مالونیل کوآنزیم آ و شناسایی بهترین منابع ژنی برای افزایش تولید نارینجنین، افزایش بیان ژن *acc1* از سه میزان مختلف *Y. lipolytica* با نام ژن *Ylacc1* باکتری گرم مثبت *Corynebacterium glutamicum* ATCC 13032 با نام ژن *Cgacc1* و باکتری گرم‌منفی *Escherichia coli* MG1655 از *Ecacc1* با نام ژن *Ecacc1* انجام شد. ژن *Ecacc1* چهار ژن *EcaccD* و *EcaccC* *EcaccB* *EcaccA* تشکیل *Ec\_accABCD* شده که در این تحقیق به صورت خوش‌ژنی در میزان موردنظر بیان شد و کارایی آن مورد بررسی قرار گرفت. تمام ژن‌های مورد بررسی در این پژوهش برای بیان در میزان *Y. lipolytica* کدون اپتیمایز شده و آغازگرهای سنتز-Integrate DNA Technology (IDT), Iowa, USA سنتز شدند. ژن‌های مورد استفاده در این پژوهش در جدول ۱ ارایه شده‌اند. پلاسمید مورد استفاده در این تحقیق، 'pYLXP' بود که قبلاً مطابق با استانداردهای YaliBrick (Xu et al., 2016) طراحی و نگهداری شده بود. باکتری *Escherichia coli* NEB 5 $\alpha$  برای طراحی، تکثیر و نگهداری پلاسمیدهای هدف و مخمر *Y. lipolytica* Po1g به عنوان میزان برای تولید نارینجنین استفاده شد.

#### طراحی مسیر بیوسترنی

برای ساخت پلاسمیدهای حاوی هر یک از ژن‌های مورد بررسی، واکنش زنجیره‌ای پلی‌مراز (PCR) برای هر ژن و با استفاده از آغازگرهای اختصاصی رفت و برگشت طراحی شده، انجام شد و فراورده هر واکنش با استفاده از کیت جداسازی DNA clean& concentrator-5 kit, (DNA (Zymoresearch, USA) جداسازی و تخلیص شد. پلاسمید pYLXP با استفاده از آنژیم‌های برشی *KpnI* و *SnaBI* برش داده شد. تمام آنژیم‌های برشی مورد استفاده در این تحقیق از شرکت Thermo Fisher Scientific, Massachusetts, USA تهیه شدند. قطعات برش داده شده توسط الکتروفورز ژل آگارز از یکدیگر جدا شده و سپس قطعه موردنظر از روی ژل جداسازی شد و توسط کیت بازیافت قطعات DNA gel (recovery kit, Zymoresearch, USA آن برای تولید پلاسمیدهای حاوی ژن‌های موردنظر، فراورده واکنش زنجیره‌ای پلی‌مراز و قطعه خالص شده پلاسمید با استفاده از واکنش گیبسون به یکدیگر متصل شدند. سپس تاریختی

جدول ۱- نام، منبع و شماره هر ژن در پایگاه داده.

Table 1. Name, source and number of each gene in data source.

ژن	منبع	شماره و پایگاه ژنی مرجع	فرنس
RtTAL	<i>Rhodotorula toruloides</i>	NCBI <sup>1</sup> : AAA33883	(Anson et al., 1987)
Pc4cl	<i>Petroselinum crispum</i> (parsley)	UniProtKB <sup>2</sup> P14912	(Wu et al., 2013)
Sl4cl	<i>Solanum lycopersicum</i>	NCBI: NP_001333770	(Alberstein et al., 2012)
PhCHS	<i>Petunia x hybrid</i>	NCBI: AAF60297	(Wu et al., 2013)
HvCHS2	<i>Hordeum vulgare</i>	NCBI: Q96562	(Christensen et al., 1998)
MsCHI	<i>Medicago sativa</i>	NCBI: P28012	(Wu et al., 2013)
PhCHI	<i>Petunia x hybrid</i>	NCBI: P11650	(van Tunen et al., 1988)
YlACCI	<i>Yarrowia lipolytica</i> Po1f	GRYC: YALI0C11407g1_1	
CgACCI	<i>Corynebacterium glutamicum</i> ATCC 13032	NCBI: NP_599932 AUI00288	(Zhu et al., 2014)
EcACCI	<i>Escherichia coli</i> DH 5α	NCBI: NC_000913.3 <sup>3</sup>	(Wong et al., 2017)

۱ و ۲ به ترتیب پایگاه دادهای ژنی NCBI و UniPortKB (<https://www.uniprot.org/help/uniprotkb>) (<https://www.ncbi.nlm.nih.gov/>) هستند. ۳- این ژن به صورت خوش‌زنی تشكیل شده است. شماره‌های اختصاصی هر جز در پایگاه دادهای NCBI به ترتیب بدین صورت است: NC\_000913.3:c2433926-2433012, NC\_000913.3:3405917-3407266, NC\_000913.3:3405436-3405906, NC\_000913.3:208621-209580

1 and 2 are NCBI (<https://www.ncbi.nlm.nih.gov/>) and UniPortKB (<https://www.uniprot.org/help/uniprotkb>) gene data bases, respectively. 3- This gene encoded by the accABCD operon and included accA, accB, accC and accD genes. The specific accession number of each gene is: NC\_000913.3:208621-209580, NC\_000913.3:3405436-3405906, NC\_000913.3:3405917-3407266 and NC\_000913.3:c2433926-2433012, respectively.

مخلوط شده و دست کم به مدت ۱۵ ثانیه و توسط ورتكس کاملاً ترکیب شدند. در این مرحله ۵-۸ میکرولیتر از پلاسمید موردنظر با مخلوط واکنش نهایی ترکیب شده و مجدداً ورتكس انجام شد. به منظور افزایش کارایی تاریختی مخلوط واکنش در دمای ۳۰ درجه سانتی‌گراد و در حمام آب گرم به مدت ۳۰ تا ۴۵ دقیقه نگهداری شده و هر ده دقیقه یکبار به مدت ۱۰ ثانیه ورتكس شدند. در نهایت نمونه‌ها به حمام آب گرم با دمای ۳۹ درجه سانتی‌گراد و به مدت ۱۰ دقیقه منتقل شدند. پس از این مرحله سلول‌های تاریخت شده بر روی پلیت محیط کشت کامل فاقد نشانگر لوسین (Leucine; CSM-Leu) کشت داده شدند و به مدت ۲ تا ۳ روز در دمای ۳۰ درجه سانتی‌گراد و در گرمخانه نگهداری شدند. برای تهیه مایه تلقیح، از هر پلیت ۱۰ کلونی در محیط کشت حقیقی مایع (CSM-Leu C/N=10) رشد داده شد و پس از ۴۸ ساعت ۶۵۰ میکرولیتر از مایه تلقیح به فلاسک‌های حاوی CSM-Leu ۴۰ میلی‌لیتر از محیط کشت کامل مایع (C/N=80) منتقل شده و در شیکر با دمای ۳۰ درجه سانتی‌گراد و چرخش ۲۵۰ rpm به مدت یک هفته نگهداری شدند.

**HPLC** شناسایی و تعیین مقدار نارینجنین با استفاده از دستگاه HPLC نمونه‌برداری هر ۲۴ ساعت از فلاسک‌ها انجام شد. ۵۰۰ میلی-لیتر از محیط کشت کامل برداشت شد و به همان مقدار متانول با درجه خلوص HPLC به نمونه‌ها اضافه شد. به منظور رهاسازی محتويات سلولی، به اندازه حجم ۲۵۰ میلی‌لیتر مهره شیشه‌ای با قطر ۱ میلی‌متر به هر نمونه اضافه شد و به مدت یک ساعت در

در مرحله بعد به منظور تعادل جریان متابولیسم، یافتن بهترین ترکیب ژنی و شناسایی ژن بهبوددهنده میزان تولید نارینجنین تعداد نسخه‌های ژن‌های *Rttal*, *Mschi*, *Phchs*, *Rttal*, *Pc4cl* و *pYT4SI* بهصورت جداگانه برای هر ژن در مکان برشی هر پلاسمید و بهصورت جداگانه برای تولید پلاسمیدهای *NheI/Sall* و *pYT4SII*, *pYT4SIS*, *pYT4SI4*, *pYT4SIT* (جدول ۲). سپس برای بررسی اثرباری دو نسخه از هر ژن *Rttal* و *Phchs* و تولید پلاسمید *pYT4SITS* یک نسخه دیگر از ژن *Phchs* در مکان آنزیم‌های برشی *NheI/Sall* پلاسمید دریافت‌کننده *pYT4SIT* وارد شد. لیست و نام کامل تمام پلاسمیدهای مورد استفاده در این پژوهش در جدول ۲ ذکر شده است.

#### تاریختی و غربال‌گری

برای تاریختی *Y. lipolytica* از روش پایه لیتیوم استات با انکوکی تغییر استفاده شد (Gietz & Schiestl, 2007). در این روش ابتدا مخمر *Y. lipolytica* Po1g بر روی پلیت YPD (Yeast Extract-Peptone-Dextrose) به مدت ۱۶-۲۴ ساعت و در دمای ۳۰ درجه سانتی‌گراد رشد داده شد. به ازای هر واکنش ۵ میکرولیتر از DNA تکرشته‌ای اسپرم سالمون در دمای ۹۵ درجه سانتی‌گراد و به مدت ۱۰ دقیقه حرارت داده شد و پس از سرد شدن با مخلوط واکنش تاریختی مخمر ترکیب شد؛ این مخلوط حاوی ۵ میکرولیتر لیتیوم استات ۲ مولار و ۹۰ میکرولیتر از محلول استریل ۵۰ درصد پلی‌اتیلن گلایکول ۴۰۰۰ بود. پس از فراهم کردن مخلوط واکنش حدود ۲۰۰ میکرولیتر از *Y. lipolytica* Po1g که از قبل رشد داده شد با مخلوط واکنش

همپوشانی خطاهاست استاندارد میانگین تیمارهای مورد بررسی در شکل ۳ نمایانگر این حقیقت است که تیروزین با فراهم کردن میزان سوبسترای موردنیاز برای سویه مخمر ترا ریخت با بهترین سازه ژنی (pPc4PhSMsI) نقش قابل توجه در بهبود تولید نارینجنین دارد. بنابراین ژن *tal* با منبع ژنی *Rhodotorula toruloides* به پلاسمید گیرنده pPc4PhSMsI وارد شد. به منظور سهولت نامگذاری، پلاسمید حاصل از این به بعد pYT4SI نامیده می شود (جدول ۲).

تأثیر تعداد نسخه هر ژن بر تولید نارینجنین با توجه به نتایج حاصل از تعیین بهترین سازه ژنی در بخش قبل و نیز نقش تیروزین بر میزان تولید نارینجنین، به منظور بررسی نقش تعداد نسخه های ژن های مورد بررسی بر بهینه سازی تولید نارینجنین، تعداد نسخه های هر یک از ژن های مورد بررسی به صورت گام به گام و به تعداد دو نسخه در هر پلاسمید افزایش یافت. شکل ۴ میزان تغییر تولید نارینجنین در مقیاس درصد و در مقایسه با تیمار (نمونه شاهد) را نشان می دهد. در ابتدا و براساس نتایج حاصل از تأثیر تیروزین بر تولید نارینجنین، تعداد نسخه های ژن *Rttal* به دو نسخه در هر پلاسمید افزایش یافت (سویه ترا ریخت با پلاسمید pYT4SIT)، نتایج حاصل از تجزیه و تحلیل داده های HPLC نمونه های ترا ریخت با پلاسمید حاوی دو نسخه ژن *Rttal* افزایش ۳/۲۸ دارد. میزان تولید نارینجنین را نسبت به نمونه شاهد نشان داد. در مرحله بعد تعداد دو نسخه از ژن *Pc4cl* مورد بررسی قرار گرفت (سویه ترا ریخت با پلاسمید pYT4SITS) در حالی که نسبت به نمونه های ترا ریخت حاوی دو نسخه از ژن *Phchs* میزان تولید نارینجنین حاصل از این تیمار کمتر بود که ممکن است نشان دهنده تأثیر منفی افزایش بیش از حد تیروزین بر تولید نارینجنین باشد. نتایج این بررسی نشان داد که افزایش بیان ژن *Phchs* می تواند به عنوان یک عامل کلیدی در افزایش تولید نارینجنین به شمار رود.

در مرحله بعد به منظور بهبود تولید نارینجنین تعداد نسخه های ژن *Phchs* تا پنج نسخه به صورت تدریجی در هر پلاسمید افزایش یافت. نتایج حاصل از تجزیه و تحلیل داده های HPLC و مقایسه میانگین تیمارهای مختلف به واسطه مقایسه همپوشانی خطاهاست استاندارد نشان داد زمانی که تعداد ژن *Phchs* به پنج نسخه در پلاسمید افزایش یافت، میزان تولید نارینجنین به بیش از ۵۵ میلی گرم در لیتر افزایش داشت که ۳/۷۰۶ برابر نسبت به حالت تک نسخه ای (pYT4SI) بیشتر بوده است در صورتی که نسبت به زمانی که چهار نسخه از این ژن در هر پلاسمید بیان شده بود، تفاوت معنی دار نشان نداد (شکل ۵). با وجوده دلیل تولید مقدار بیشتر نارینجنین توسط سویه حاوی پنج نسخه از ژن *Phchs* در تحقیقات بعدی از این سویه به عنوان میزان استفاده شد.

رتکس با دمای ۳۰ درجه سانتی گراد و چرخش ۲۵۰ RPM نگهداری شدند. مقدار نارینجنین تولید شده با استفاده از دستگاه HPLC 1220 و به روش (Lv et al., 2019a) اندازه گیری شد. به منظور جداسازی نارینجنین از ستون ZORBAX Eclipse Plus C18 (4.6 × 100 mm, 3.5 µm, Agilent) تعیین آن نیز از مانیتور (λ = 280 nm) VWD استفاده شد. برای فاز سیال A و B به ترتیب از اسید استیک ۱/۰ درصد حل شده در آب استریل و از اسید استیک ۱/۰ درصد حل شده در متانول استفاده شد. شبی شستشو فاز سیال B به ترتیب و بحسب زمان درصد به این صورت بود: ۰/۰، ۰/۵، ۰/۸، ۰/۱۲ و ۰/۱۵. از نارینجنین خالص با درصد خلوص بیش از ۹۵ درصد و زمان خروج ۹/۹۰۱ دقیقه به عنوان استاندارد و برای تعیین کمیت و کیفیت نارینجنین خارج سلولی و استاندارد ثانویه روزاتول با درجه خلوص بیش از ۹۵ درصد و زمان خروج ۸/۸۳۶ دقیقه نیز به عنوان کنترل و جهت تشخیص دقیق نارینجنین از سایر ترکیبات ممکن موجود در مخلوط واکنش استفاده شد. هر دو استاندارد Sigma Aldrich, Missouri, USA تهیه شدند. شکل ها و نمودارها با استفاده از نرم افزار Adobe Illustrator CC, 2018 طراحی و ترسیم شدند.

## نتایج

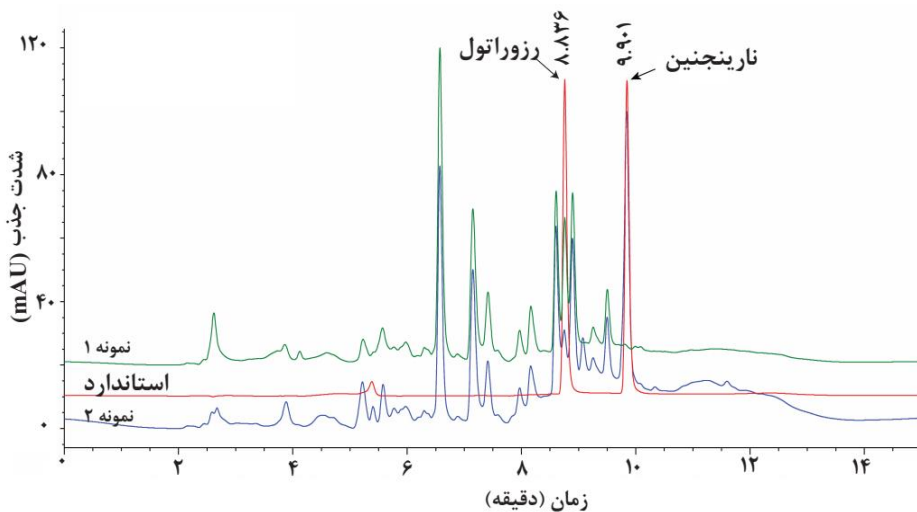
تعیین بهترین منابع ژنی جهت تولید بهینه نارینجنین شکل ۲ کروموجراف HPLC نمایش منحنی نارینجنین در نمونه استاندارد و دو نمونه مورد آزمایش را نشان می دهد. نتایج حاصل از تجزیه و تحلیل داده های HPLC و به منظور یافتن قدرمندترین منابع ژنی در شکل ۳ نشان داد میزان تولید نارینجنین در محدوده ای بین ۹/۹۴ تا ۲۱/۹۵ میلی گرم بر لیتر قرار داشت. نتایج حاصل از مقایسه میانگین و همپوشانی خطاهای استاندارد تیمارهای مختلف نشان داد که در بین هشت سازه ژنی مختلف، ترکیب ژنی *Pc4cl* و *Phchs* (با نام *Mschi*) با تولید بیش از ۲۱ میلی گرم در لیتر نارینجنین اختلاف معنی دار با سایر ترکیبات ژنی داشته و به عنوان بهترین ترکیب ژنی به شمار می رود.

شکل ۳ نشان می دهد که میزان تولید نارینجنین در حضور ۵ میلی مولار تیروزین خارج سلولی و ۹۶ ساعت پس از آغاز کشت به ۲۶/۲ میلی گرم بر لیتر رسید که ۱۶/۲۳ درصد نسبت به نمونه استاندارد (pPc4PhSMsI) و زمانی که گلوكز به عنوان منبع اصلی سوبستر بود، افزایش معنی دار نشان داد. عدم افزایش معنی دار تولید نارینجنین پس از ۹۶ ساعت احتمالاً به دلیل مصرف تیروزین خارج سلولی بوده است. نتایج حاصل از

## جدول ۲ - فهرست پلاسمیدهای مورد استفاده در این پژوهش.

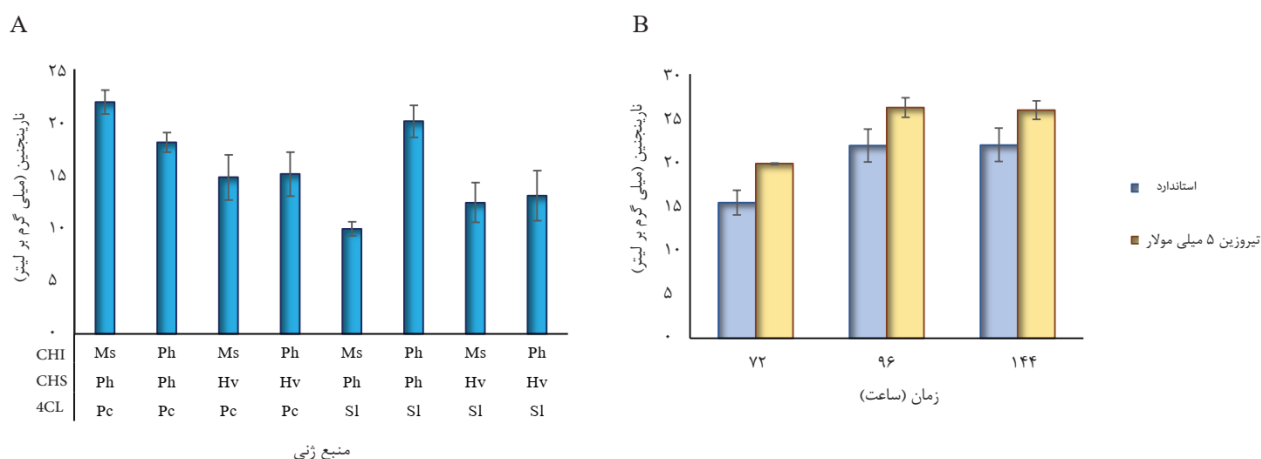
Table 2. List of plasmids used in this study.

علامت اختصاری	نام کامل هر پلاسمید	توضیحات
pYLXP <sup>*</sup>		پلاسمید مورد استفاده برای تمام مراحل همسانه سازی
pRtT	pYLXP <sup>*</sup> - <i>Rttal</i>	پلاسمید pYLXP <sup>*</sup> دربردارنده ژن <i>Rttal</i>
pPc4	pYLXP <sup>*</sup> - <i>Pc4cl</i>	پلاسمید pYLXP <sup>*</sup> دربردارنده ژن <i>Pc4cl</i>
pSL4	pYLXP <sup>*</sup> - <i>Sl4cl</i>	پلاسمید pYLXP <sup>*</sup> دربردارنده ژن <i>Sl4cl</i>
pPhS	pYLXP <sup>*</sup> - <i>Phchs</i>	پلاسمید pYLXP <sup>*</sup> دربردارنده ژن <i>Phchs</i>
pHvS2	pYLXP <sup>*</sup> - <i>Hvchs2</i>	پلاسمید pYLXP <sup>*</sup> دربردارنده ژن <i>Hvchs2</i>
pMsI	pYLXP <sup>*</sup> - <i>Mschi</i>	پلاسمید pYLXP <sup>*</sup> دربردارنده ژن <i>Mschi</i>
pPhI	pYLXP <sup>*</sup> - <i>Phchi</i>	پلاسمید pYLXP <sup>*</sup> دربردارنده ژن <i>Phchi</i>
pYIA1	pYLXP <sup>*</sup> - <i>Ylacc1</i>	پلاسمید pYLXP <sup>*</sup> دربردارنده ژن <i>Ylacc1</i>
pCgA1	pYLXP <sup>*</sup> - <i>Cgacc1</i>	پلاسمید pYLXP <sup>*</sup> دربردارنده ژن <i>Cgacc1</i>
pEcA1A	pYLXP <sup>*</sup> - <i>Ecacc1A</i>	پلاسمید pYLXP <sup>*</sup> دربردارنده ژن <i>Ecacc1A</i>
pEcA1B	pYLXP <sup>*</sup> - <i>Ecacc1B</i>	پلاسمید pYLXP <sup>*</sup> دربردارنده ژن <i>Ecacc1B</i>
pEcA1C	pYLXP <sup>*</sup> - <i>Ecacc1C</i>	پلاسمید pYLXP <sup>*</sup> دربردارنده ژن <i>Ecacc1C</i>
pEcA1D	pYLXP <sup>*</sup> - <i>Ecacc1D</i>	پلاسمید pYLXP <sup>*</sup> دربردارنده ژن <i>Ecacc1D</i>
pEcA1ABCD	pYLXP <sup>*</sup> - <i>Ecacc1ABCD</i>	پلاسمید pYLXP <sup>*</sup> دربردارنده ژن کامل <i>Ecacc1ABCD</i>
pPc4PhSMsI	pYLXP <sup>*</sup> - <i>Pc4cl-Phchs-Mschi</i>	پلاسمید pYLXP <sup>*</sup> دربردارنده ژن‌های <i>Pc4cl</i> , <i>Phchs</i> و <i>Mschi</i>
pPc4PhSPhI	pYLXP <sup>*</sup> - <i>Pc4cl-Phchs-Phchi</i>	پلاسمید pYLXP <sup>*</sup> دربردارنده ژن‌های <i>Phchi</i> , <i>Phchs</i> و <i>Pc4cl</i>
pPc4HvSMsI	pYLXP <sup>*</sup> - <i>Pc4cl-Hvchs-Mschi</i>	پلاسمید pYLXP <sup>*</sup> دربردارنده ژن‌های <i>Mschi</i> , <i>Hvchs</i> و <i>Pc4cl</i>
pPc4HvSPhI	pYLXP <sup>*</sup> - <i>Pc4cl-Hvchs-Phchi</i>	پلاسمید pYLXP <sup>*</sup> دربردارنده ژن‌های <i>Phchi</i> , <i>Hvchs</i> و <i>Pc4cl</i>
pSl4PhSMsI	pYLXP <sup>*</sup> - <i>Sl4cl-Phchs-Mschi</i>	پلاسمید pYLXP <sup>*</sup> دربردارنده ژن‌های <i>Mschi</i> و <i>Phchs</i> و <i>Sl4cl</i>
pSl4PhSPhI	pYLXP <sup>*</sup> - <i>Sl4cl-Phchs-Phchi</i>	پلاسمید pYLXP <sup>*</sup> دربردارنده ژن‌های <i>Phchi</i> و <i>Phchs</i> و <i>Sl4cl</i>
pSl4HvSMsI	pYLXP <sup>*</sup> - <i>Sl4cl-Hvchs-Mschi</i>	پلاسمید pYLXP <sup>*</sup> دربردارنده ژن‌های <i>Mschi</i> و <i>Hvchs</i> و <i>Sl4cl</i>
pSl4HvSPhI	pYLXP <sup>*</sup> - <i>Sl4cl-Hvchs-Phchi</i>	پلاسمید pYLXP <sup>*</sup> دربردارنده ژن‌های <i>Phchi</i> و <i>Hvchs</i> و <i>Sl4cl</i>
pYT4SI	pYLXP <sup>*</sup> - <i>Rttal-Pc4cl-Phchs-Mschi</i>	پلاسمید pYLXP <sup>*</sup> دربردارنده ژن‌های <i>Rttal</i> , <i>Pc4cl</i> و <i>Phchs</i> و <i>Mschi</i>
pYT4SIT	pYLXP <sup>*</sup> - <i>Rttal-Pc4cl-Phchs-Mschi-Rttal</i>	پلاسمید pYT4SI در بردارنده دو نسخه از ژن <i>Rttal</i>
pYT4SI4	pYLXP <sup>*</sup> - <i>Rttal-Pc4cl-Phchs-Mschi-Pc4cl</i>	پلاسمید pYT4SI در بردارنده دو نسخه از ژن <i>Pc4cl</i>
pYT4SIS	pYLXP <sup>*</sup> - <i>Rttal-Pc4cl-Phchs-Mschi-Phchs</i>	پلاسمید pYT4SI در بردارنده دو نسخه از ژن <i>Phchs</i>
pYT4SII	pYLXP <sup>*</sup> - <i>Rttal-Pc4cl-Phchs-Mschi-Mschi</i>	پلاسمید pYT4SI در بردارنده دو نسخه از ژن <i>Mschi</i>
pYT4SI4S	pYLXP <sup>*</sup> - <i>Rttal-Pc4cl-Phchs-Mschi-Pc4cl-Phchs</i>	پلاسمید pYT4SI در بردارنده دو نسخه از هر ژن <i>Pc4cl</i> و <i>Phchs</i>
pYT4Sx2I	pYLXP <sup>*</sup> - <i>Rttal-Pc4cl-Phchs<sub>x2</sub>-Mschi</i>	پلاسمید pYT4SI در بردارنده دو نسخه از ژن <i>Phchs</i>
pYT4Sx3I	pYLXP <sup>*</sup> - <i>Rttal-Pc4cl-Phchs<sub>x3</sub>-Mschi</i>	پلاسمید pYT4SI در بردارنده سه نسخه از ژن <i>Phchs</i>
pYT4Sx4I	pYLXP <sup>*</sup> - <i>Rttal-Pc4cl-Phchs<sub>x4</sub>-Mschi</i>	پلاسمید pYT4SI در بردارنده چهار نسخه از ژن <i>Phchs</i>
pYT4Sx5I	pYLXP <sup>*</sup> - <i>Rttal-Pc4cl-Phchs<sub>x5</sub>-Mschi</i>	پلاسمید pYT4SI در بردارنده پنج نسخه از ژن <i>Phchs</i>
pYT4Sx5I-Cgacc1	pYLXP <sup>*</sup> - <i>Rttal-Pc4cl-Phchs<sub>x5</sub>-Mschi-Cgacc1</i>	پلاسمید pYT4Sx5I در بردارنده ژن <i>Cgacc1</i>
pYT4Sx5I-Ecacc1ABCD	pYLXP <sup>*</sup> - <i>Rttal-Pc4cl-Phchs<sub>x5</sub>-Mschi-Ecacc1ABCD</i>	پلاسمید pYT4Sx5I در بردارنده ژن <i>Ecacc1ABCD</i>
pYT4Sx5I-Ylacc1	pYLXP <sup>*</sup> - <i>Rttal-Pc4cl-Phchs<sub>x5</sub>-Mschi-Ylacc1</i>	پلاسمید pYT4Sx5I در بردارنده ژن <i>Ylacc1</i>



شکل ۲- کرومومگراف تعیین نارینجنین در نمونه استاندارد و دو نمونه مورد آزمایش. نارینجنین با درصد خلوص بیش از ۹۵ درصد (PubChem Substance ID: 57654457) به عنوان نمونه استاندارد، رزوراتول با درجه خلوص بیش از ۹۵ درصد (PubChem Substance ID: 24278055) به عنوان کنترل و جهت تشخیص دقیق نارینجنین و به ترتیب سویه‌های pYT4S<sub>x5</sub>I-ylacc1#2 و pYT4S<sub>x5</sub>I-ylacc1#5 به عنوان نمونه‌های ۱ و ۲ استفاده شدند.

**Fig. 2.** Naringenin chromatograph in standard and two tested samples. Naringenin with a purity of more than 95% (PubChem Substance ID 57654457) as the standard sample, Resveratrol with a purity of more than 95% (PubChem Substance ID:24278055) as a control and for accurate diagnosis of Naringenin and pYT4S<sub>x5</sub>I-ylacc1#2 and pYT4S<sub>x5</sub>I-ylacc1#5 strains were used as samples 1 and 2, respectively.



شکل ۳. نمایش ترکیب ژنی و نقش تیروزین بر تولید نارینجنین در میزان سه ژن بیوستری پایه به منظور بهینه‌سازی تولید نارینجنین. **A.** تاثیر منبع ژنی بر قدرت بیان سه ژن بیوستری *Y. lipolytica* بر میزان تولید نارینجنین.

**Fig. 3.** Gene composition and the role of tyrosine on the production of naringenin in *Y. lipolytica* host. A. The effect of gene source on the expression of three basic biosynthetic genes to optimize naringenin production. B. The effect of extracellular tyrosine on naringenin titer.

YaliBrick و مقایسه تیمارهای مختلف از طریق مقایسه میانگین و همپوشانی خطاهای استاندارد در شکل ۶ نشان داد که بین تمام تیمارهای مورد بررسی اختلاف معنی‌دار آماری وجود دارد و ژن‌های مورد بررسی می‌توانند سبب افزایش قابل توجه تولید نارینجنین شوند. ژن *Ylacc1* از قدرت بسیار بیشتری نسبت به دو منبع ژنی دیگر برخوردار بوده است و سویه مخمر ترا ریخت با پلاسمید

تأثیر منابع استیل-کوآنزیم آ و مالونیلکوآنزیم آ بر میزان تولید نارینجنین

نتایج حاصل از تجزیه و تحلیل داده‌های HPLC برای بررسی تاثیر منبع مالونیلکوآنزیم آ و افزودن دو ژن *Ylacc1*, *Cgacc1* و خوش ژنی *Ec\_accABCD* به پلاسمید حاوی بهترین سازه ژنی حاصل از مراحل قبل یعنی پلاسمید pYT4S<sub>x5</sub>I با استفاده از روش

Zhang et al., 2017) حالت تک کشت مخمر ۸ برابر افزایش داشت (2017). استفاده از ۲۰ گرم بر لیتر منبع قند گلوکز در محیط کشت، افزایش میزان توزیع اکسیژن در محیط کشت، به نسبت ۵ برابر ماده تلقیح سویه دارای مسیر بیوسنتری بالادست به پایین دست و نیز القای IPTG در زمان ۶ ساعت پس از آغاز کشت میزان تولید نارینجنین را در کشت مخلوط *E. coli*-*E. coli* به میزان ۴۱/۵ میلی-

گرم بر لیتر رساند (Ganesan et al., 2017).

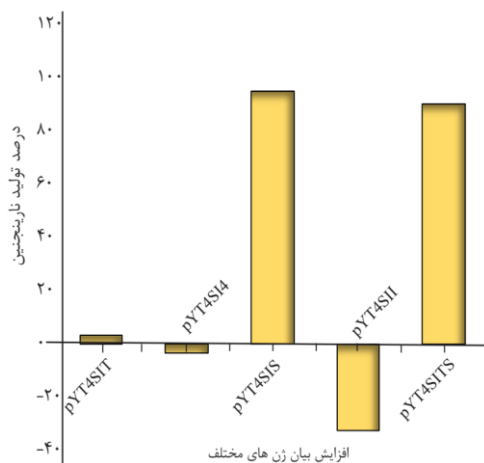
تعادل مسیر بیوسنتری، یعنی هماهنگی میزان تجمع و مصرف ترکیبات حدواتسط نقش بسیار مهمی را در بهینه‌سازی تولید فراورده موردنظر ایفا می‌کند. این هماهنگی می‌تواند از طریق افزایش تعداد Jones et al., 2015) نسخه‌های هر ژن در هر پلاسمید انجام شود (2015). زمانی که مسیر بیوسنتری پایه (حاوی ژن‌های *chi*, *Acl* و *chs*) بهینه‌سازی شد، تولید نارینجنین به ۲۱/۹۵ میلی‌گرم بر لیتر رسید که نشان‌دهنده تفاوت در قدرت بیان ژن‌ها در میزان بود (شکل ۳A). همچنین نشان داده شد که ژن *tal* سبب افزایش میزان سوبستراتی کافی برای سلول‌های درحال رشد و افزایش میزان تولید نارینجنین می‌شود. در مرحله بعد نقش افزایش تعداد نسخه‌های هر ژن در هر سلول بررسی شد و مشخص شد که افزایش بیان ژن *chs* تا پنج نسخه بهمیزان قابل توجهی تولید نارینجنین را افزایش داد (شکل ۵). پژوهشگران بیان کردند تعداد نسبتاً کم نسخه‌های پلاسمید و متعاقباً تعداد ژن منحصر به فرد در یک مسیر بیوسنتری هتروولوگ به عنوان یک عامل محدودکننده در مهندسی متابولیت بهشمار می‌رود و این در صورتی است که در اغلب پروژه‌های مهندسی سطح بالایی از بیان ژن‌ها مورد نیاز است (Lian et al., 2018). برای اولین بار و با تاریختی هر سلول میزان *E. coli* با ۱۰۰ نسخه از پلاسمید حاوی مسیر بالادست تولید نارینجنین یعنی از ژن تولیدکننده تیروزین تا نارینجنین و بهینه‌سازی شرایط رشد، میزان ۱۰۰/۶۴ میلی‌گرم بر لیتر تولید نارینجنین گزارش شد (Wu et al., 2014). در انتها در این پژوهش نقش سوبستراهای کلیدی و مهم استیل-کوآنزیم آ و مالونیل کوآنزیم آ بر افزایش بیان نارینجنین تایید شد و سبب بهینه‌سازی تولید این ترکیب ارزشمند به بیش از ۹۰ میلی‌گرم بر لیتر شد (شکل ۶). در پژوهشی با استفاده از سویه Po1f مخمر *Y. lipolytica* محققان توانستند مواعظ محدودکننده تولید نارینجنین را از طریق ساخت مدولار تمام مسیر بیوسنتری فلاؤنوئیدها و مشتقات هیدروکسیله آن‌ها شامل ژن‌های *f3h*, *f3'h*, *chi*, *chs*, *Acl*, *tal* و *aro1* شناسایی کنند. در این بررسی آن‌ها نشان دادند که افزایش *acc1* تعداد نسخه‌های *chs* و *CPR* به ترتیب به پنج و دو نسخه در هر پلاسمید و از طریق تلفیق پلاسمید به ژنوم میزان، بهمود سنتز سوبستراهای مالونیل و استیل-کوآنزیم آ، افزایش میزان گلوکز در ابتدای

pYT4Sx5I-Ylacc1 می‌تواند میزان تولید نارینجنین را به ۹۰/۱۶ میلی‌گرم بر لیتر افزایش دهد (شکل ۶). ژن *Cgacc1* نیز از نظر میزان قدرت و کارایی بیان در میزان مورد بررسی با تولید ۷۶/۳۶ میلی‌گرم بر لیتر نارینجنین در رتبه دوم قرار داشت.

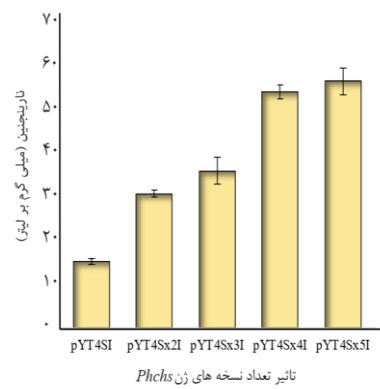
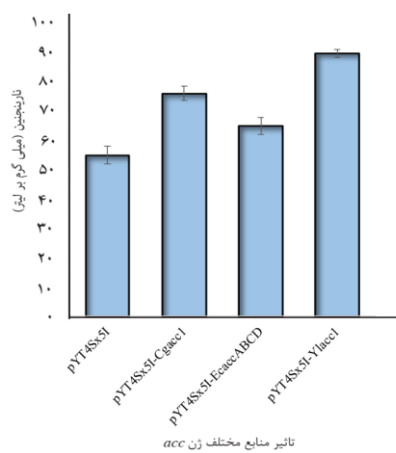
## بحث و نتیجه‌گیری

به دلیل نگرانی‌هایی که درمورد اینمی صنایع غذایی و محیط زیست وجود دارد، بیوسنتری فلاؤنوئیدها از سوبستراتی اینم، ارزان و تجدیدپذیر به طور فرایندهای مورد توجه قرار گرفته است (Koopman et al., 2012; Santos et al., 2011) عنوان هسته مرکزی تولید فلاؤنوئیدها، یک ترکیب طبیعی بسیار ارزشمند است که از اهمیت ویژه‌ای در درمان بسیاری از بیمارهای انسان بخوردار است (al., 2008; Xu et al., 2013a) بدلیل اهمیت این ترکیب آلی، بیان ترکیبی از آنزیمهای از ارگانیسم‌های مختلف و در سویه‌های مختلف باکتریایی، این موجودات زیستی را قادر به تولید مقادیر قابل توجهی نارینجنین کرده است. مخمر *Y. lipolytica* از اجزای لیپیدی و ساختارهای غشادار غنی بوده و محیط بسیار مناسبی را برای تولید بسیاری از ترکیبات طبیعی از جمله فلاؤنوئیدها فراهم می‌کند (Lv et al., 2019b). مخمر *Y. lipolytica* Polg برای تولید نارینجنین و برای اولین بار در این پژوهش مورد استفاده قرار گرفت در حالی که در سایر پژوهش‌های مرتبط و برای تولید فلاؤنوئید موردنظر سایر محققین از میزان‌های *E. coli* یا *S. cerevisiae* استفاده نمودند.

بهره‌گیری از گیاه آراییدوپسیس تالینا، بیان مقایسه‌ای ژن‌های درگیر در بیوسنتری نارینجنین و معرفی آن‌ها به میزان میکروبی *S. cerevisiae*، کاهش مهار بازخورد ۳-دئوكسی-۵-آرایینوز-هپتولوزونیت-۷-فسفات سینتاز، افزایش تعداد نسخه‌های ژن *chs* و نیز استفاده از گلوکز به عنوان منبع قند منجر به تولید مقدار ۵۴ میلی‌گرم بر لیتر نارینجنین شد (Koopman et al., 2012). در پژوهش دیگری به منظور بهینه‌سازی تولید نارینجنین از کشت مخلوط *S. cerevisiae* و مخمر *E. coli* و منبع قند زایلوز استفاده باکتری *E. coli* و مخمر *S. cerevisiae* شد. برای این منظور مسیر طولانی بیوسنتری نارینجنین به دو بخش تفکیک شد و هر بخش به یکی از میزان‌های مورد استفاده وارد شد. نوع محیط کشت، اندازه ماده تلقیح و نسبت ماده تلقیح هر یک از میزان‌های سلولی از عوامل مهمی بود که در این پژوهش مورد بررسی قرار گرفت. نتایج نشان داد که نسبت ماده تلقیح *S. cerevisiae* بیشترین نقش را در میزان تولید نارینجنین دارد و زمانی که اندازه ماده تلقیح مخمر ۵ برابر و قند زایلوز ۴۰ گرم بر لیتر در نظر گرفته شد، مقدار تولید نارینجنین به ۲۱/۱۶ میلی‌گرم بر لیتر رسید که نسبت به



شکل ۴- تاثیر تعداد نسخه های هر زن بر میزان تولید نارینجنین.

**Fig. 4.** The effect of gene copy number on naringenin titer.شکل ۵- تاثیر افزایش تعداد نسخه های زن *Phchs* تا پنج نسخه در هر پلاسمید بر میزان تولید نارینجنین.**Fig. 5.** The effect of *Phchs* gene copy number (up to five copies) in each plasmid on naringenin titer.شکل ۶- تاثیر بیان زن *acc1* از منابع زنی مختلف بر افزایش تولید نارینجنین.**Fig. 6.** The effect of *acc1* gene expression on the improvement of naringenin titer.

## References

- Alberstein, M., Eisenstein, M. & Abeliovich, H.** 2012. Removing allosteric feedback inhibition of tomato 4-coumarate:CoA ligase by directed evolution. *Plant J.* 69: 57-69.
- Anson, J.G., Gilbert, H.J., Oram, J.D. & Minton, N.P.** 1987. Complete nucleotide sequence of the *Rhodosporidium toruloides* gene coding for phenylalanine ammonia-lyase. *Gene* 58: 189-199.
- Atanasov, A.G., Waltenberger, B., Pferschy-Wenzig, E.M., Linder, T., Wawrosch, C., Uhrin, P., Temml, V., Wang, L., Schwaiger, S., Heiss, E.H., Rollinger, J.M., Schuster, D., Breuss, J.M., Bochkov, V., Mihovilovic, M.D., Kopp, B., Bauer, R., Dirsch, V.M. & Stuppner, H.** 2015. Discovery and resupply of pharmacologically active plant-derived natural products: A review. *Biotechnol. Adv.* 33: 1582-1614.
- Chemler, J.A. & Koffas, M.A.** 2008. Metabolic engineering for plant natural product biosynthesis in microbes. *Curr. Opin. Biotechnol.* 19: 597-605.
- Christensen, A.B., Gregeren, P.L., Schroder, J. & Collinge, D.B.** 1998. A chalcone synthase with an unusual substrate preference is expressed in barley leaves in response to UV light and pathogen attack. *Plant Mol. Biol.* 37: 849-857.
- Falcone Ferreyra, M.L., Rius, S.P. & Casati, P.** 2012. Flavonoids: biosynthesis, biological functions, and biotechnological applications. *Front. Plant Sci.* 3: 1-15.
- Fowler, Z.L., Gikandi, W.W. & Koffas, M.A.** 2009. Increased malonyl coenzyme A biosynthesis by tuning the *Escherichia coli* metabolic network and its application to flavanone production. *Appl. Environ. Microbiol.* 75: 5831-5839.
- Fowler, Z.L. & Koffas, M.A.** 2009. Biosynthesis and biotechnological production of flavanones: current state and perspectives. *Appl. Microbiol. Biotechnol.* 83: 799-808.
- Ganesan, V., Li, Z., Wang, X. & Zhang, H.** 2017. Heterologous biosynthesis of natural product naringenin by co-culture engineering. *Synth. Syst. Biotechnol.* 2: 236-242.
- Gietz, R.D. & Schiestl, R.H.** 2007. High-efficiency yeast transformation using the LiAc/SS carrier DNA/PEG method. *Nat. Protoc.* 2: 31-34.
- Hermenean, A., Ardelean, A., Stan, M., Herman, H., Mihali, C.V., Costache, M. & Dinischiotu, A.** 2013. Protective effects of naringenin on carbon tetrachloride-induced acute nephrotoxicity in mouse kidney. *Chem. Biol. Interact.* 205: 138-147.
- Jiang, H., Wood, K.V. & Morgan, J.A.** 2005. Metabolic engineering of the phenylpropanoid pathway in *Saccharomyces cerevisiae*. *Appl. Environ. Microbiol.* 71: 2962-2969.
- Jones, J.A., Toparlak, Ö.D. & Koffas, M.A.G.** 2015. Metabolic pathway balancing and its role in the production of biofuels and chemicals. *Curr. Opin. Biotechnol.* 33: 52-59.
- Koopman, F., Beekwilder, J., Crimi, B., van Houwelingen, A., Hall, R.D., Bosch, D., van Maris, A.J., Pronk, J.T. & Daran, J.M.** 2012. De novo production of the flavonoid naringenin in engineered *Saccharomyces cerevisiae*. *Microb. Cell Fact.* 11: 155-170.

فرمانتیشن و افزودن بازدارنده سرلانین به محیط کشت می‌تواند سبب بهبود تولید نارینجنین، اردیکتیول و تاکسیفولین به ترتیب به Lv et al., ۲۵۲/۴، ۱۳۴/۲ و ۱۱۰/۵ میلی‌گرم بر لیتر شوند (Lv et al., 2019b). در حالی که کاهش هزینه تولید ترکیبات فلاونوئیدی از طریق کاهش مصرف گلوکز در محیط کشت و عدم افزودن ترکیبات گران‌قیمت همچون سرلانین همچنان به عنوان یک چالش عمده به شمار می‌رود که محققان تلاش دارند از طریق تولید مسیرهای بیوسنتز هترولوج تکرارپذیر و کاهش سرمایه‌گزاری‌های اولیه این موانع را رفع کنند (Zhu & Jackson, 2015).

نتایج حاصل از این بررسی نشان داد که درک کافی از مسیر بیوسنتزی، شناسایی و رفع عوامل محدود گننده تولید هترولوجوس ترکیبات موردنظر و استفاده از میزبان سلولی قدرتمند می‌تواند سبب بهینه‌سازی تولید ترکیبات ارزشمند دارویی به روش بسیار ایمن در مقایس وسیع و با هزینه کمتر نسبت به استخراج از مواد گیاهی و یا سنتز شیمیایی شوند. همچنین این نتایج تأکید نمود که مخمر *Y. lipolytica* می‌تواند با بهره‌گیری از آنزیمهای سوبستراهای ذاتی خود منجر به بهبود سنتز ترکیبات خارجی شود.

## سپاسگزاری

این پژوهش در دانشگاه مریلند آمریکا حومه بالتمور (University of Maryland, Baltimore County, USA) انجام شد. هزینه‌های انجام این پژوهش توسط دانشگاه مریلند، بنیاد ملی علوم (National Science Foundation; NSF) آمریکا و نیز دانشگاه گیلان تأمین شد. بههمین منظور از پرسنل محترم این مؤسسه‌ها جهت همکاری-های بی‌دریغ و حمایت مالی قدردانی می‌شود.

- Leonard, E., Ajikumar, P., Thayer, K., Xiao, W., Mo, J., Tidor, B., Stephanopoulos, G. & Prather, K.** 2010. Combining metabolic and protein engineering of a terpenoid biosynthetic pathway for overproduction and selectivity control. *Proc. Natl. Acad. Sci. USA* 107: 13654-13659.
- Lian, J., Mishra, S. & Zhao, H.** 2018. Recent advances in metabolic engineering of *Saccharomyces cerevisiae*: New tools and their applications. *Metab. Eng.* 50: 85-108.
- Lv, Y., Edwards, H., Zhou, J. & Xu, P.** 2019a. Combining 26s rDNA and the Cre-loxP system for iterative gene integration and efficient marker curation in *Yarrowia lipolytica*. *ACS Synth. Biol.* 8: 568-576.
- Lv, Y., Marsafari, M., Koffas, M., Zhou, J. and Xu, P.** 2019b. Optimizing oleaginous yeast cell factories for flavonoids and hydroxylated flavonoids biosynthesis. *ACS Synth. Biol.* 8: 2514-2523.
- Mahomoodally, M.F., Gurib-Fakim, A. & Subratty, A.H.** 2005. Antimicrobial activities and phytochemical profiles of endemic medicinal plants of mauritius. *Pharm. Biol.* 43: 237-242.
- Panche, A.N., Diwan, A.D. & Chandra, S.R.** 2016. Flavonoids: an overview. *J. Nutr. Sci.* 5: 1-15.
- Pandy, A.K.** 2007. Anti-staphylococcal activity of a pan-tropical aggressive and obnoxious weed *Parthenium hysterophorus*: An in vitro study. *Natl Acad Sci Lett.* 30: 383-386.
- Ribeiro, I.A., Rocha, J., Sepodes, B., Mota-Filipe, H. & Ribeiro, M.H.** 2008. Effect of naringin enzymatic hydrolysis towards naringenin on the anti-inflammatory activity of both compounds. *J. Mol. Catal. B-Enzym.* 52-53: 13-18.
- Santos, C.N.S., Koffas, M. & Stephanopoulos, G.** 2011. Optimization of a heterologous pathway for the production of flavonoids from glucose. *Metab. Eng.* 13: 392-400.
- Stafford, H.A., Runeckles, V.C. & Conn, E.E.** 1974. Possible Multienzyme Complexes Regulating the Formation of C6-C3 Phenolic Compounds and Lignins in Higher Plants. *Recent Adv. Phytochem.* 8: 53-79.
- Trantas, E.A., Koffas, M.A., Xu, P. & Verteridis, F.** 2015. When plants produce not enough or at all: metabolic engineering of flavonoids in microbial hosts. *Front. Plant Sci.* 6: 7-23.
- van Tunen, A.J., Koes, R.E., Spelt, C.E., van der Krol, A.R., Stuitje, A.R. & Mol, J.N.** 1988. Cloning of the two chalcone flavanone isomerase genes from *Petunia hybrida*: coordinate, light-regulated and differential expression of flavonoid genes. *Embo. J.* 7: 1257-1263.
- Wang, Y., Chen, S. & Yu, O.** 2011. Metabolic engineering of flavonoids in plants and microorganisms. *Appl. Microbiol. Biotechnol.* 91: 949-956.
- Winkel, B.S.** 2004. Metabolic channeling in plants. *Annu Rev Plant Biol.* 55: 85-107.
- Winkel-Shirley, B.** 2001. Flavonoid biosynthesis. A colorful model for genetics, biochemistry, cell biology, and biotechnology. *Plant Physiol.* 126: 485-493.
- Winkel-Shirley, B.** 2002. Biosynthesis of flavonoids and effects of stress. *Curr. Opin. Plant Biol.* 5: 218-223.
- Wong, L., Engel, J., Jin, E., Holdridge, B. & Xu, P.** 2017. YaliBricks, a versatile genetic toolkit for streamlined and rapid pathway engineering in *Yarrowia lipolytica*. *Metab. Eng. Commun.* 5: 68-77.
- Wu, J., Du, G., Zhou, J. & Chen, J.** 2013. Metabolic engineering of *Escherichia coli* for (2S)-pinocembrin production from glucose by a modular metabolic strategy. *Metab. Eng.* 16: 48-55.
- Wu, J., Zhou, T., Du, G., Zhou, J. & Chen, J.** 2014. Modular optimization of heterologous pathways for de novo synthesis of (2S)-naringenin in *Escherichia coli*. *PLOS ONE* 9: e101492.
- Xu, C., Chen, J., Zhang, J., Hu, X., Zhou, X., Lu, Z. & Jiang, H.** 2013a. Naringenin inhibits angiotensin II-induced vascular smooth muscle cells proliferation and migration and decreases neointimal hyperplasia in balloon injured rat carotid arteries through suppressing oxidative stress. *Biol. Pharm. Bull.* 36: 1549-1555.
- Xu, P., Bhan, N. & Koffas, M.A.G.** 2013b. Engineering plant metabolism into microbes: from systems biology to synthetic biology. *Curr. Opin. Biotechnol.* 24: 291-299.
- Xu, P., Qiao, K.J., Ahn, W.S. & Stephanopoulos, G.** 2016. Engineering *Yarrowia lipolytica* as a platform for synthesis of drop-in transportation fuels and oleochemicals. *Proc. Natl. Acad. Sci. USA* 113: 10848-10853.
- Zelcbuch, L., Antonovsky, N., Bar-Even, A., Levin-Karp, A., Barenholz, U., Dayagi, M., Liebermeister, W., Flamholz, A., Noor, E., Amram, S., Brandis, A., Bareia, T., Yofe, I., Jubran, H. & Milo, R.** 2013. Spanning high-dimensional expression space using ribosome-binding site combinatorics. *Nucleic Acids Res.* 41: e98-e106.
- Zha, W., Rubin-Pitel, S.B., Shao, Z. & Zhao, H.** 2009. Improving cellular malonyl-CoA level in *Escherichia coli* via metabolic engineering. *Metab Eng.* 11: 192-198.
- Zhang, H. and Stephanopoulos, G.** 2013. Engineering *E. coli* for caffeic acid biosynthesis from renewable sugars. *Appl. Microbiol. Biotechnol.* 97: 3333-3341.
- Zhang, W., Liu, H., Li, X., Liu, D., Dong, X.-T., Li, F.-F., Wang, E.-X., Li, B.-Z. & Yuan, Y.-J.** 2017. Production of naringenin from D-xylose with co-culture of *E. coli* and *S. cerevisiae*. *Eng. Life. Sci.* 17: 1021-1029.
- Zhu, Q. & Jackson, E.N.** 2015. Metabolic engineering of *Yarrowia lipolytica* for industrial applications. *Curr. Opin. Biotechnol.* 36: 65-72.
- Zhu, S., Wu, J., Du, G., Zhou, J. & Chen, J.** 2014. Efficient synthesis of eriodictyol from L-tyrosine in *Escherichia coli*. *Appl. Environ. Microbiol.* 80: 3072-3080.

\*\*\*\*\*

**How to cite this article:**

**Marsafari, M., Samizadeh, H., Rabiei1, B., Ashraf Mehrabi, A., Lv, Y. & Xu, P.** 2020. The optimization of Naringenin biosynthesis pathway using *Yarrowia lipolytica* cell culture. *Nova Biologica Reperta* 7: 133-144. (In Persian).

مارضفری، م.، سمیعزاده لاهیجی، ح.ا.، ربیعی، ب.، اشرف مهرابی، ع.، لوی، ی. و شو، پ. ۱۳۹۹. بهینه سازی بیوسنتر فلاؤنوئید نارینجنین با استفاده از کشت سلولی یارویا لیپولیتیکا. یافته های نوین در علوم زیستی ۷: ۱۴۴-۱۳۳.